

O/H

A

OŚRODEK MECHATRONIKI

Nazwa ONB/ZNB

Główny wykonawca

dr. inż. Ryszard Sobczak

Wykonawcy:

dr. inż. Ryszard Sobczak

Opracowanie procedur wykrywania i ewentualnie lokalizacji przecieków w rurociągach przy przewidywanym opomiarowaniu, w sytuacjach nietypowych.

DOKUMENT WZORCOWY

(Tytuł pracy, numer i tytuł etapu)

Zleceniodawca

Komitet Badań Naukowych

KIEROWNIK
OŚRODKA MECHATRONIKI

mgr inż. Zbigniew Piłat

ZASTĘPCA DYREKTORA
d/s Badań i Rozwojowychdr inż. Jan Jabłkowski
(1)

Pracę zakończono dnia 1997.06.30

Nr arch. 7561

Nr zlecenia umowy 101/97

4

1. WSTĘP.

Do „niezwykłe” uważamy te sytuacje, w których nieszerokość surowca może znacznie wystąpić, a wytyczenie jej metodą, opartą o pomiary na porządkowych stacjach różnic ciśnienia i materii przepływów przed i po wystąpieniu nieszerokości jest bądź niemożliwe, bądź nieefektywne. Wytyczenie tych sytuacji stanowi jednocześnie definicję SWLP. W dotychczasowych badaniach warunkach i korespondencji z PERM operowano jedynie pojęciem „wytyczenie i lokalizacja przecieków” przez co rozumiano wytyczenie i lokalizację przecieków w okresie normalnej pracy instalacji (t. zn. tło ciśnienia mediów) i to raczej z wyłączeniem przypadków jednoczesnego wystąpienia przecieku oraz skokowej zmiany ciśnienia na początku lub na końcu surowca.

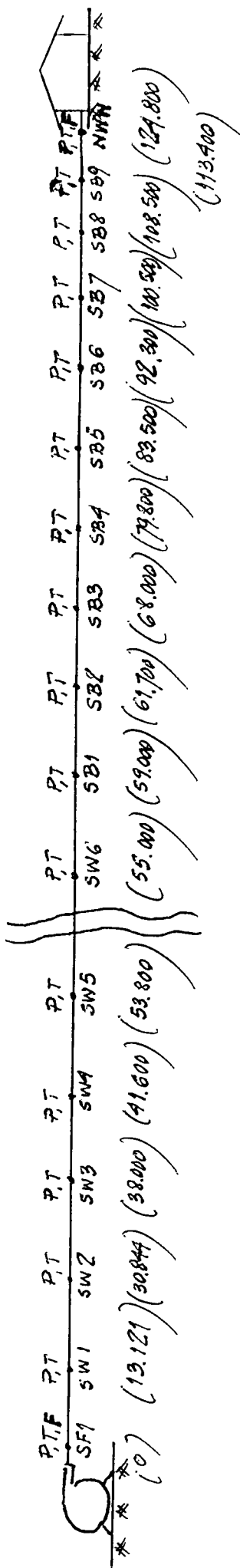
Proponuje się, aby poza sytuacjami standardowymi, SWLP uwzględniał również następujące przypadki:

- (1) Wystąpienie nieszerokości w okresie postępu instalacji (czasu tło ciśnienia).
- (2) Wystąpienie nieszerokości w pobliżu granicy serdriatu mediów.
- (3) Jednoczesne wystąpienie nieszerokości i skokowa zmiana ciśnienia na końcu surowca.
- (4) Jednoczesne wystąpienie nieszerokości i skokowa zmiana ciśnienia na początku surowca.

Do „typowa” można uważać jedynie sytuację (2), lecz i ona wymaga pogłębionej analizy.

Schemat rozmieszczenia stacji pomiarowych na surowcu pokazano na rys. 1.1.

WISŁA



Schemat rozmieszczenia pomiarów na rurociągu.

Rys. 1.1

2. WYSTĄPIENIE NIESZCZELNOŚCI W OKRESIE POSTOJU INSTALACJI LUB W OKRESIE OD URUCHOMIENIA TŁOCZENIA DO WYKONANIA TESTÓW SZCZELNOŚCI.

Wytyczne faktu wystąpienia nieszczelności (a tym bardziej jej lokalizacja) w okresie postoju instalacji jest niemożliwe. Możliwe jest natomiast po uruchomieniu tłoczenia przetestowanie ruszownicy na nieszczelność. Ale procedury testowania mogą być oparte jedynie na pomiarach bezwzględnych wartości parametrów (ciśnienia, natężenia przepływu), a w związku z tym będą one i mniej wartościowe na przekroju i mniej dokładne od procedur, stosowanych w trakcie normalnej pracy instalacji.

Uruchomienie testów może nastąpić dopiero po czasie, potrzebnym do ustabilizowania się ciśnienia i przepływu. Jak wynika z badań [4], czas ustabilizowania się ciśnienia wynosi 15÷25 min. Dlatego po uruchomieniu tłoczenia należy:

- określić pewien czas T_0 ,
- po tym czasie dla m kolejnych wartości średnich z okresu $T_m = M \cdot T_0$ wyznaczyć $\bar{p}_i(m)$ oraz $\bar{Q}_{p,k}(m)$ i sprawdzić:

$$\bar{p}_i(m) - \bar{p}_i(m-1) \leq \delta p_i \quad (2.1)$$

$$\bar{Q}_{p,k}(m) - \bar{Q}_{p,k}(m-1) \leq \delta Q \quad (2.2)$$

gdzie: M - liczbę cykli pomiarów

$T_0 \cong 3s$ - cykl próbkowania

\bar{Q}_p, \bar{Q}_k - mierzone natężenia przepływu na przekroju i natężenia swobodnej $\left[\frac{m^3}{h}\right]$

Krośka nad zmienną oznacza wartość średnią arytmetyczną (w tym przypadku z M kolejnych pomiarów).

Wstępnie można przyjąć: $M=60$, $p_i=6 \text{ kPa}$, $\delta a=0,5\% a_p$.

Jeżeli warunki (2.1) i (2.2) nie są spełnione - kontynuujemy spraw-
danie dla $m \rightarrow m+1$.

Jeżeli są spełnione dla wszystkich \bar{p}_i oraz \bar{a}_p i \bar{a}_k - uwi-
erzas możemy rozpocząć testowanie.

Przypomnij sobie uproszczenie 3 testów:

2.1. Wykrywanie faktu nierówności.

Fakt testu: w przypadku braku przesieku poziomem \bar{a}
 $\bar{a}_k = \bar{a}_p$. Należy tu jednak uważać choćby na to:

(1) warunki termodynamiczne (temperatury, ciśnienia) na początku
i na końcu suszeźni są różne, zmienia się zatem wzdłuż suszeźni
gęstość medium (a ściślej - objętość właściwa). Wobec tego podliczamy
 \bar{a}_k na warunki, panujące na początku suszeźni:

$$\bar{a}_{k,g} = \bar{a}_k \cdot \frac{\rho_k}{\rho_p} \tag{2.3}$$

W przybliżeniu [1 etap 1; 3]:

$$\frac{\rho_k}{\rho_p} = 1 - 1,1 \cdot 10^{-3} (\bar{t}_k - \bar{t}_p) + 961 \cdot 10^{-6} (\bar{p}_k - \bar{p}_p) \tag{2.4}$$

$$\text{t. zn. : } \bar{a}_{k,g} = \bar{a}_k [1 - 1,1 \cdot 10^{-3} (\bar{t}_k - \bar{t}_p) + 961 \cdot 10^{-6} (\bar{p}_k - \bar{p}_p)] \tag{2.5}$$

Zgodnie z danymi PERN, współczynniki rozszerzalności objęto-
sowej oraz moduły sprężystości ciał stałych i olejów napędowych są takie
same. W związku z tym nie jest w tej kwestii istotne ani to, jakie medium
wypełnia suszeźnię, ani to, czy jest to jednorodne czy kilka mediów.

Warto dodać, że w przypadku tłoczenia mediów przez jedną pompę
gęstość w funkcji zmian ciśnienia zmienia się w granicach 0,3%,
natomiast w funkcji temperatury - 2,5 ÷ 3,5% (t. zn. nawet w granicach
 $10 \frac{m^3}{h}$).

Przykład: $\bar{Q}_p = 820 \frac{m^3}{h}$, $\bar{p}_p = 8,5 MPa$, $\bar{t}_p = 40^\circ C$
 $\bar{Q}_k = 213 \frac{m^3}{h}$, $\bar{p}_k = 0,2 MPa$, $\bar{t}_k = 8^\circ C$

Bezpośrednie porównanie \bar{Q}_p i \bar{Q}_k sugerowałoby presence w granicach $7 \frac{m^3}{h}$. Po uwzględnieniu korekty (2.5):

$$\bar{Q}_{k,s} = 213 \cdot 1,033 \approx 219 \frac{m^3}{h}$$

to zn. presence nie występuje.

(2) Prawdopodobnie \bar{Q}_p i \bar{Q}_k nie będą względem siebie nastojane, a różnica ich wskazań (w punkcie nie tylko \bar{Q}_p , ale również innych parametrów, np. ρ , λ itd.) będzie zapewne duża, gdyż parametry dla przepływów oparte są na różnych warunkach fizycznych. Dlatego też niezbędne jest uwzględnienie poprawki:

$$\Delta Q(\bar{Q}_p, z) \cdot \frac{\rho_k}{\rho_p} = \bar{Q}_p - \bar{Q}_{k,s} \quad (2.6)$$

dla stałego ciśnienia bez presence (gdzie z - możliwie nie parametry fizyczne medium). Parametry, określone jako z , nie będą małe (micronowe). Wobec tego możliwe jest jedynie doświadczenie wprawy - określenie 4-ech charakterystyk, oznaczonych np.:

$\Delta Q(\bar{Q}_p)_1$ - dla sytuacji etylina (na powietrze) - etylina (na tlen),

$\Delta Q(\bar{Q}_p)_2$ - dla sytuacji olej napędowy - olej napędowy,

$\Delta Q(\bar{Q}_p)_3$ - dla sytuacji etylina - olej,

$\Delta Q(\bar{Q}_p)_4$ - dla sytuacji olej - etylina

Storagowana wartość \bar{Q}_k :

$$\bar{Q}_{k,s} = [\bar{Q}_k + \Delta Q(\bar{Q}_p)_z] \cdot [1 - 1,1 \cdot 10^{-3} (\bar{t}_k - \bar{t}_p) + 969 \cdot 10^{-6} (\bar{p}_k - \bar{p}_p)] \quad (2.7)$$

Test oceny:

$$\bar{Q}_p - \bar{Q}_{k,s} \leq \delta Q \quad (2.8)$$

Jeżeli tak - najmniej brak presence.

Jeżeli nie - podjętymy występowanie presence o natężeniu:

$$\Delta u = \bar{Q}_p - \bar{Q}_{k,s} \pm \delta Q \quad (2.9)$$

2.2. Poszukiwanie odcinka rusociszu, na którym wystąpił przeciek.

Test oparty jest na porównaniu dla poszczególnych odcinków $i/i+1$ rusociszu wartości przepływów, wynikających z:

- pomiaru \bar{Q}_p ,
- pomiaru \bar{Q}_k ,
- spidetu ciśnienia między punktami i oraz $i+1$.

Procedura obejmuje następujące działania:

- Ustalenie odległości między, wyznaczonych rusocisz, oraz granic ich rozdziel. Dane te powinny być zarejestrowane w systemie informatycznym PERM.
- Stworzenie ciśnieni, mierzonych w poszczególnych stacjach "i" o właściwościach hydraulicznych (t.j. niejako "wyperforowane rusocisze"). W tym celu:

* wyznaczenie gęstości mediów w poszczególnych stacjach:

$$\rho_i = \rho_k [1 - 1,1 \cdot 10^{-3} (t_i - 20) + 961 \cdot 10^{-6} (p_i - 0,1)] \left[\frac{kg}{m^3} \right] \quad (2.10)$$

gdzie: k - odległość medium w danej stacji,

ρ_k - gęstość medium k dla parametrów admieszenia ($20^\circ C, 100 kPa$).

Ponieważ aktualnie brak jest pomiaru ρ_k , przyjmujemy wartość średnic:

** dla etylenu : $\rho_E = 755 \frac{kg}{m^3}$,

** dla olejów napędowych: $\rho_o = 830 \frac{kg}{m^3}$.

* wyznaczenie gęstości średnic mediów w poszczególnych odcinkach rusociszu:

$$\rho_{i-1} = \frac{1}{2} (\rho_{i-1} + \rho_o) \quad (2.11)$$

* wyznaczenie stworzone wartości ciśnieni dla stacji: od $i=2$

do $i=N$ (przyjmując jako „poziom rezerwy” poziom słajki $i=1$):

$$\bar{p}_{si} = \bar{p}_i + g \sum_{i=2}^N \Delta h_{i-1/i} \cdot \rho_{i-1/i} \quad (2.12)$$

gdzie $\Delta h_{i-1/i} = h_{i-1} - h_i$ - różnica poziomów między słajkami $(i-1)$ oraz i [m]

UWAGA: 1) mierzone ciśnienie $p_{s17} = p_i \approx 0,2 \text{ MPa}$, natomiast $\Delta h_{1,17} = 28 \text{ m}$. Wobec tego nawet przy wypełnieniu swobodnym cylindra, napięcie hydrostatyczne wynosi $0,207 \text{ MPa}$ co oznacza, że wartość $p_{s17} < 0$.

2) Przy przyjęciu „poziome rezerwy”, $\bar{p}_{s1} = \bar{p}_1$.

- Wyznaczenie średnic materiału przepływu przez poszczególne odcinki rurocięgu, wynikające z pomiarów Q_p i Q_k :

$$\bar{Q}_{p i-1/i} = \bar{Q}_p \left[1 - 1,1 \cdot 10^{-3} (\bar{t}_p - \bar{t}_{sr i-1/i}) + 961 \cdot 10^{-6} (\bar{p}_p - \bar{p}_{sr i-1/i}) \right] \quad (2.13)$$

$$\bar{Q}_{k i-1/i} = \bar{Q}_{k,s} \left[1 - 1,1 \cdot 10^{-3} (\bar{t}_p - \bar{t}_{sr i-1/i}) + 961 \cdot 10^{-6} (\bar{p}_p - \bar{p}_{sr i-1/i}) \right] \quad (2.14)$$

gdzie: $\bar{t}_{sr i-1/i} = \frac{1}{2} (\bar{t}_{i-1} + \bar{t}_i)$

$$\bar{p}_{sr i-1/i} = \frac{1}{2} (\bar{p}_{i-1} + \bar{p}_i)$$

- Wyznaczenie średnic materiału przepływu przez poszczególne odcinki rurocięgu, wynikające ze spadku ciśnienia:

$$\bar{Q}_{i-1/i}^* = 3600 \cdot \frac{\pi d_w^2}{4} \sqrt{\frac{p_{si-1} - p_{si}}{\lambda_{ni-1/i} \cdot \rho_{ni-1/i} \cdot \frac{1}{2} \rho_w \cdot \Delta X_{i-1/i}}} \quad (2.15)$$

gdzie: $\lambda_{ni-1/i}$ - współczynnik strat hydraulicznych,

$\rho_{ni-1/i}$ - średnica gładka,

$d_w = 0,308 \text{ m}$ - średnica średnicy wewnętrznej rurocięgu,

$$\Delta X_{i-1/i} = X_i - X_{i-1} \text{ [m]}$$

- Wyznaczymy dla każdego odcinka swoistego zmienną.

$$\text{DEL } Q_{i-1/i} = \bar{Q}_{i-1/i}^* - (\bar{Q}_{p_{i-1/i}} + Q_{k_{i-1/i}}) \quad (2.16)$$

- Bazaowy rozkład $\text{DEL } Q_{i-1/i}$ wzdłuż swoistego:

* jeżeli dla wystąpienia $i-1/i$:

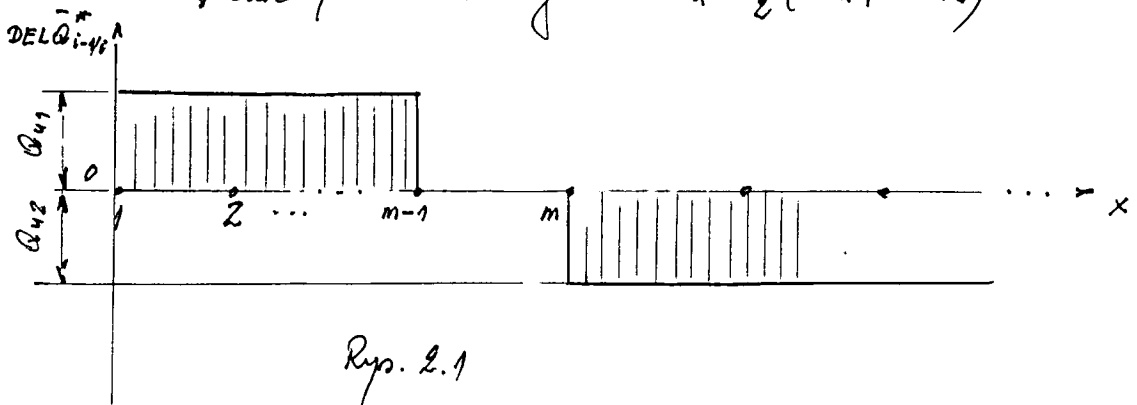
$$|\text{DEL } \bar{Q}_{i-1/i}^*| \leq \delta Q \quad (2.17)$$

przeciek nie występuje (przynajmniej z punktu widzenia tego testu),

* jeżeli rozkład $\text{DEL } \bar{Q}_{i-1/i}^*$ przedstawia się - jak na rys. 2.1:

** przeciek występuje na odcinku $m-1/m$,

** natężenie przecieku wynosi $Q_u = \frac{1}{2}(Q_{u1} - Q_{u2})$



Rys. 2.1

Na odcinku $m-1/m$ zmienna $\text{DEL } \bar{Q}^*$ może przyjmować różne wartości, zarówno ujemne jak i dodatnie.

Można przypuszczać, że uwzględnienie procedury z wielkimi wylotami nie będzie trudne. Dla uwzględnienia tej uwzględnienia należy:

- wyznaczyć rozkłady $\lambda_m(x)$,
- możliwie dokładnie wyznaczyć wartości Q_u ,
- sprawdzić wartości $\Delta h_{i-1/i}$,
- uproszczyć odcinki $\Delta x_{i-1/i}$ nie być krótkie, bo ciecze nie są krótkie (krótkie odcinki pomiarowe, np: SF1-SW1 (13,1 km), SW1-SW2 (17,7 km), SW2-SW3 (7,2 km), SW3-SW5 (15,8 km), SW5-SB2 (7,9 km), SB2-SB3 (7,1 km), SB3-SB4 (11,0 km), SB4-SB6 (12,5 km), SB6-SB7 (8,8 km), SB7-SB9 (12,9 km), SB9-NWW (11,4 km).

2.3. Poszukiwanie miejsca przecięcia.

Przy przepływie przez rurę rurczą jednego medium oraz braku przecięcia, stężenie $p_s(x)$ powinno być liniową funkcją x .

Zalamanie prostej $p_s(x) = f(x)$ może nastąpić w przypadku:

- nierówności stężenia; zalamanie $p_s(x)$ występuje wówczas także tu dołowi w miejscu przecięcia x_0 (rys. 3.4),
- jednoczesnym przepływem przez rurczą dwóch mediów z granic ich rozdzielających w odległości x_0 . W tym przypadku, jeżeli stężenie p_s medium na odcinku $0 - x_0(x_0)$ jest większe niż stężenie p_s medium na odcinku $x_0(x_0) - L$, wówczas zalamanie to jest tu dołowe (rys. 3.4); jeżeli natomiast układ wartości stężeń p_s jest odwrotny, wówczas zalamanie to jest tu górne (rys. 3.8). Bliżej zostanie to wyjaśnione w rozdz. 3.4 przy wyznaczeniu przez rurczą mogącego jednocześnie przepływać jednocześnie dwóch mediów.

Ungłębniejże powyższe, proponuje się następujący proces poszukiwania miejsca przecięcia:

- Wyznaczenie średni gradient stężenia:

$$G_s = \frac{\bar{p}_r - \bar{p}_k}{L} \quad (2.18)$$

- Wyznaczenie dla każdej stacji zlinearyzowane stężenie:

$$\bar{p}_{ki} = \bar{p}_r - G_s \cdot x_i \quad (2.18)$$

oraz, różnicę stężeń:

$$\Delta \bar{p}_{ksi} = \bar{p}_{si} - \bar{p}_{ki} \quad (2.19)$$

gdzie: \bar{p}_{si} - odczyt stężenia (2.14)

- Dla każdej stacji i sprawdzamy warunek:

$$|\Delta p_{rsi}| \leq \delta p \tag{2.20}$$

gdzie $\delta p \approx 10 \text{ kPa}$

* jeżeli tak, uznajemy to nie występuje ani przeciek, ani granica serdriak mediów,

* jeżeli nie:

** wyznaczamy "i" oraz $\max |\Delta \bar{p}_{rsi}|$ z warunkiem:

$$\max_i |\Delta \bar{p}_{rsi}| \tag{2.21}$$

** sprawdzamy:

$$\Delta \bar{p}_{rsi} > 0 \tag{2.22}$$

*** jeżeli tak, uznajemy, że natłamanie charakterystyki $p_s(x)$ jest spowodowane występowaniem granicy serdriak mediów; powinniśmy to potwierdzić dane z systemu informacyjnego PERM,

*** jeżeli nie - oznacza to, że występuje albo przeciek, albo granica serdriak mediów

• jeżeli granica serdriak mediów - powinniśmy to potwierdzić dane z systemu informacyjnego PERM,

• jeżeli przeciek - powinniśmy to potwierdzić procedurą 1/8 rozdz. 2.1 (i ew. 2.3)

W przypadku, gdy stwierdziliśmy występowanie przecieku:

- Dzielimy ruszając na dwa elementy:

* od $i=1$ do i odpowiadajacemu warunkowi $\max_i |\Delta p_{rsi}|$

* od i odpowiadajacemu w/v warunkowi do $i=17$

- Wyznaczamy przyswity gradientów:

$$\Delta G_p = G_s - G_p$$

$$\Delta G_k = G_s - G_k$$

analogicznie, jak w normalnej procedurze wyznaczania x_v

- wyznaczamy miejsce przecięcia:

$$x_v = L \left(1 - \frac{\Delta G_p}{\Delta G_k} \right)^{-1} \quad (2.23)$$

- wyznaczamy następnie przecięcie h_u - analogicznie, jak w normalnej procedurze wyznaczania x_v i h_u .

Sytuacja ma miejsce tu komplikuje, jeżeli w surowym wycieku są dwa media (osobno granice ich rozdzielni x_G) oraz przecięcia w miejscu x_v .

Rozpatrzmy przykład: (1) $x_G = 70 \text{ km}$, $\bar{\Delta p}_G = 150 \text{ kPa}$

$$x_v = 30 \text{ km}, \quad \bar{\Delta p}_u = -80 \text{ kPa}$$

Dodatkowa wartość $\bar{\Delta p}_G$ oznacza, że najpierw pompowane było medium o większej wartości iloczynu $\lambda \cdot \rho$ (np. olej napędowy), a następnie o mniejszej wartości tego iloczynu (np. etylina).

Wynikowy rozkład $\bar{\Delta p}_{rs}$ pokazano na ryp. 2.2.

$$(2) \quad x_G = 70 \text{ km}, \quad \bar{\Delta p}_G = -150 \text{ kPa}$$

$$x_v = 30 \text{ km}, \quad \bar{\Delta p}_u = -80 \text{ kPa}$$

W tej samej wartości $\bar{\Delta p}_G$ oznacza, że najpierw pompowane było medium o mniejszej, a następnie o większej wartości iloczynu $\lambda \cdot \rho$.

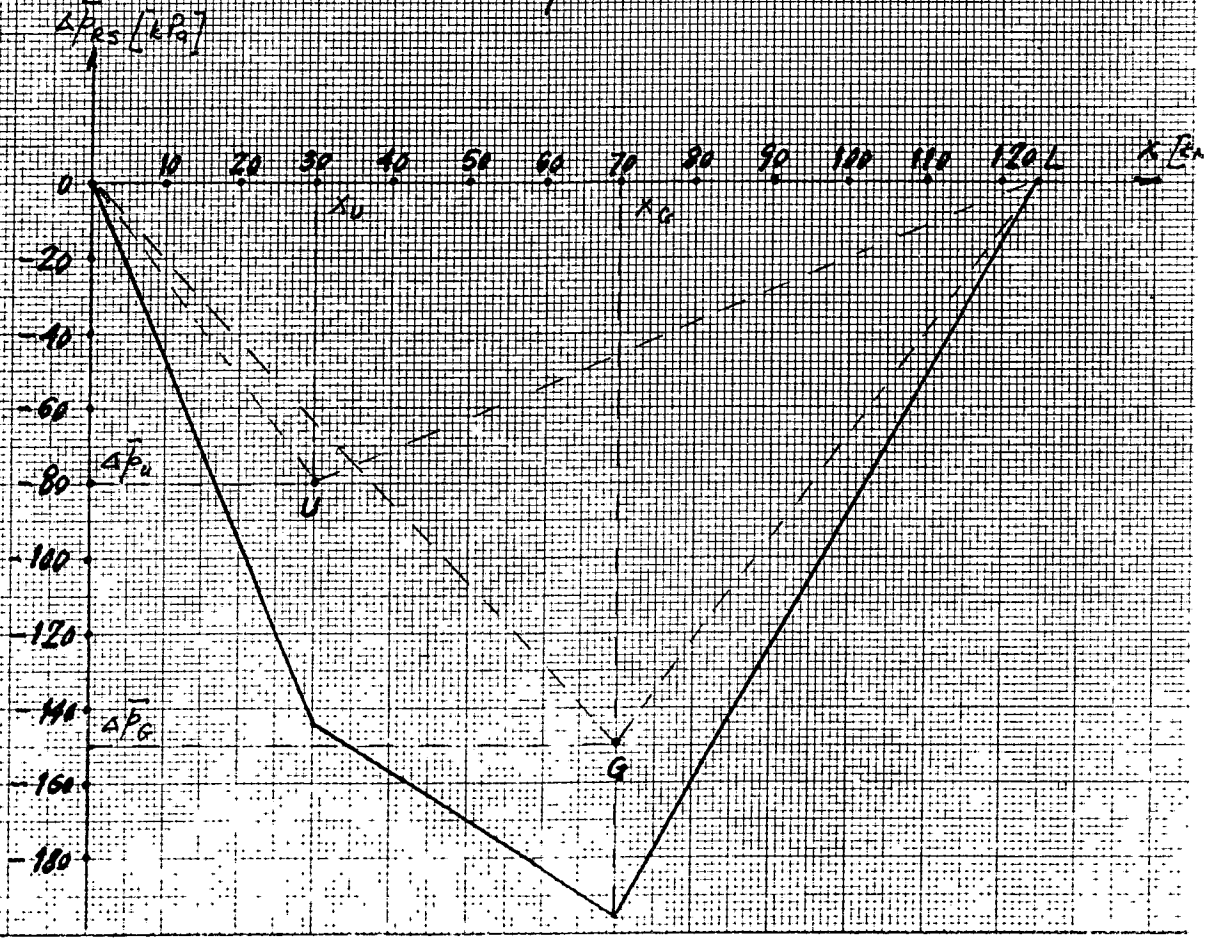
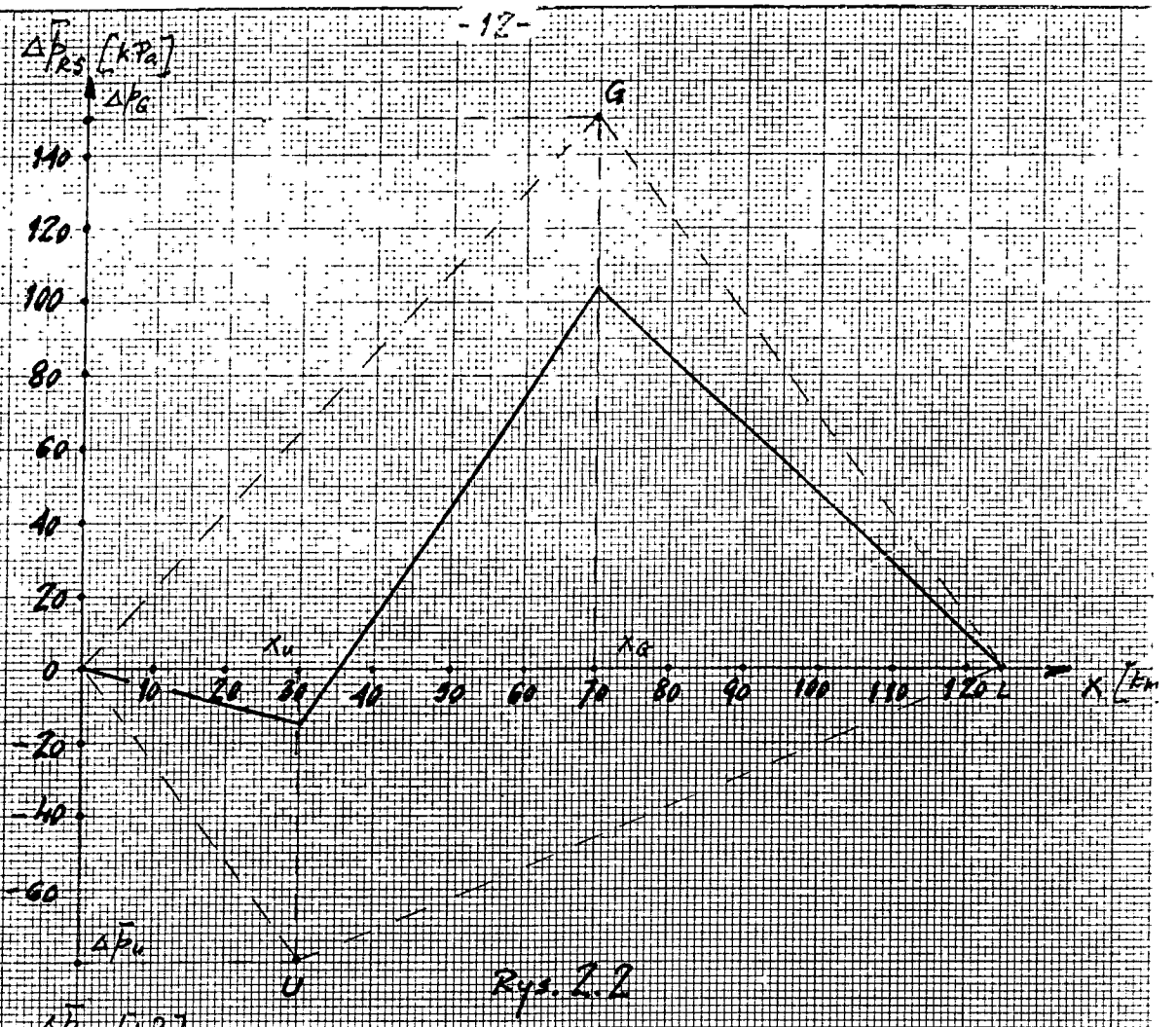
Wynikowy rozkład $\bar{\Delta p}_{rs}$ pokazano na ryp. 2.3.

Jak widać, w obu przypadkach $\bar{\Delta p}_{rs}(x)$ ulegał dwóm zmianom.

- w punkcie x_G ,

- w punkcie x_v .

W takiej sytuacji można było dalej pominiąć komputerowo x_v (czyli dane x_G z systemu inżynierskiego o PPKN), bo $1/2$



Rys. 2.3

ograniczyć się do pokazania rozkładu $\Delta \bar{P}_{ES}(x)$ na monitorze
na tle wypełnienia rusocisku (gdzie różne media - przynajmniej
w systemie PERM - przedstawione są różnymi barwami).

Wydaje się, że przy dalszej analizie komputerowej wejdziemy
w obszar, w którym $\Delta \bar{P}_{ES}$ będzie mniejsze niż uaktywnienia pomiarowe.
Dlatego też proponuje się, aby w omawianej sytuacji procedurę ratowniczą
zmonitorowaniem - j.w.

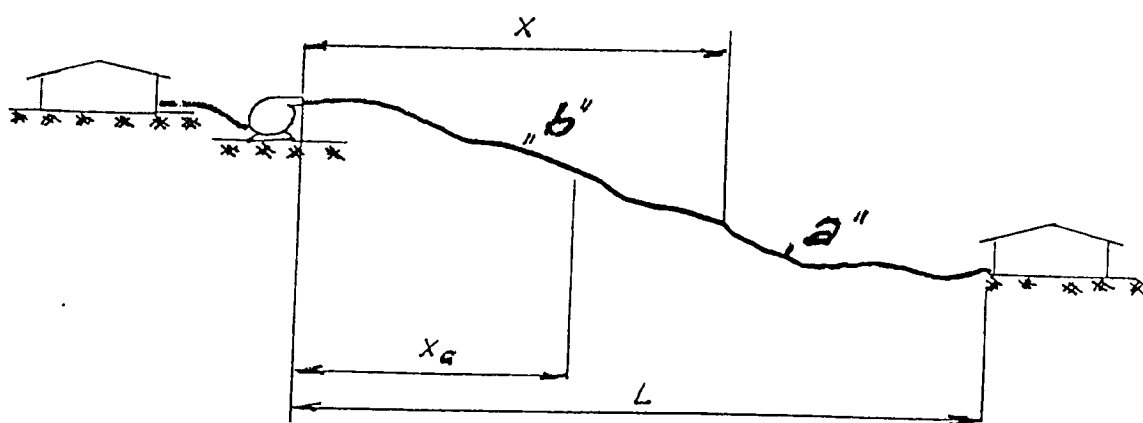
3. WYSTĄPIENIE PRZECIEKU W POBLIŻU GRANICY ROZDZIAŁU MEDIÓW.

3.1. Przepływ i rozkład ciśnienia w rurze przy jednoczesnym przepływie dwóch mediów.

Jednoczesny przepływ przez rurę dwóch (a tym bardziej większej liczby) mediów utrudnia dokładną lokalizację przecieku, a w przypadku niesprawności choćby jednego z przetworzonych pomiarowych przepływów - również wystrzycie faktu przecieku.

Aby wyjaśnić istotę tych utrudnień zaleźmy, że jednocześnie tłoczymy dwa media (rys. 3.1):

- etylina o średniej gęstości $\rho = 755 \frac{\text{kg}}{\text{m}^3}$ i średnim współczynniku tarcia $\lambda = 15,61 \cdot 10^{-3}$,
- olej napędowy o średniej gęstości $\rho = 830 \frac{\text{kg}}{\text{m}^3}$ i średnim współczynniku tarcia $\lambda = 22,16 \cdot 10^{-3}$.



Rys. 3.1

W analizie pomijamy zmiany i różnice pomiarowe, a także stan nieustalony w rurze. Wyniki obliczeń, przedstawione na 15 edmożnych w kreskach, otrzymano w oparciu o założenia, sformuł.

wane x przednio w [1, Etap 1] oraz [3].

Rozpatrujemy najpierw przypadek, gdy medium „a” (wersyjowe), stanowi etylina, a medium „b” (poinicjne) olej napędowy.

Zmiana tloerena nastąpiła w momencie $t=0$, a siatki $x_0=0$ (z p. 3.2). Przed przetworzeniem tloerena, t. zn. dla $t < 0$, przez rusocig plynęła tylko etylina. Ciśniecie na pompa było stałe i wynosiło $2,2329 \text{ MPa}$; stałe było również natężenie przepływu na pompy $Q_p = 261,96 \frac{\text{m}^3}{\text{h}}$.

Przetworzenie tloerena na olej napędowy spowodowało:

- stokiły wzrost ciśnienia na pompy, do wartości $p_p = 2,4604 \text{ MPa}$; w miarę przesuwania się granicy serdriatn mediów x_0 ciśnienie to monotonicznie rośnie, osiągając dla $x_0 = L$ wartość $p_p = 2,5578 \text{ MPa}$ (t. zn. uwarstajac o ok. 4% wartości p_p dla $t=0$),
- stokiły wzrost natężenia przepływu do wartości $Q_p = 273,44 \frac{\text{m}^3}{\text{h}}$; przy wzroście x_0 przepływu ten monotonicznie maleje, osiągając dla $x_0 = L$ wartość $Q_p = 223,78 \frac{\text{m}^3}{\text{h}}$ (t. zn. malejąc o ok. 14,5% wartości Q_p przy $t=0$).

Polożenie granicy serdriatn mediów x_0 jest funkcją (niechwilową

- wobec niechwilowej zmiany Q_p , a tym samym przesłaci przepływu w) czasu; czas ten na z p. 3.2 pokazano w nawiasach.

Gdy przez rusocig plynęła jedno medium (etylina), ciśnienia w każdym punkcie rusocigu (przy braku sumów i zakłóceń pomiarowych) było stałe. Pneliczi ciśnieni w wybranych punktach x rusocigu w funkcji x_0 (a więc i czasu) po przetworzeniu tloerena na olej napędowy pokazano na z p. 3.3. Jak widać, ciśnienie na początku rusocigu monotonicznie rośnie (co było już pokazane na z p. 3.2). W obliczeniach przyjęto, że ciśnienie na końcu rusocigu

jest stałe i wynosi $p_k = 0,2 \text{ MPa}$ (ciśnienie to wynika z ciśnienia w zbiorniku końcowym - patrz str. 3.1). Natomiast we wszystkich pozostałych punktach surowego ciśnienie najpierw nieliniowo maleje (do granicy $x = x_G$), a następnie nieliniowo rośnie, przy czym zmiany te są bardzo duże (nawet do $0,3 \text{ MPa}$).

Aby odfiltrować silny wpływ na rozkład ciśnienia napędu hydraulicznego (zmieniącego się w ślad za zmianą x_G), na str. 3.4 pokazano przykładowo rozkłady $p_s(x)$ oraz $p_k(x)$ dla $x_G = 60 \text{ cm}$. Warto zwrócić uwagę na to, że $p_s(x)$ stanowią dwie półproste (a nie krzywe - jak na str. 3.3!!!), przecinające się w punkcie $x = x_G$.

Na str. 3.5 pokazano dla kilku wartości x_G wykresy $\Delta p_{sk}(x)$. Również i te wykresy dla każdej wartości x_G składają się z dwóch półprostych, przecinających się w punkcie $x = x_G$.

Rozpatrzmy z kolei przypadek, gdy medium „a” (wewnętrzne) stanowi olej napędowy, a medium „b” (pozewewnętrzne) etylina. Wykresy, odpowiadające omówionemu wyżej (str. 3.2÷3.5) pokazano na punktach 3.6, 3.7, 3.8 i 3.9

Powijną analizę przeprowadzono dla osiągnięcia dwóch celów:

- zalecenia proceduralnej bieżącej śledzenia granicy rozdzielnic medium x_G ,
- zalecenie sposobu takiego korzystania z wartości $\bar{p}_i(t)$ w obszarze do wartości $\bar{p}_i(t-T)$ w procedurze lokalizacji przecieków, które uwzględniały zmiany $p_i(t)$, spowodowane przesuwaniem się x_G (gdzie T - „czasowa okienka” między

17

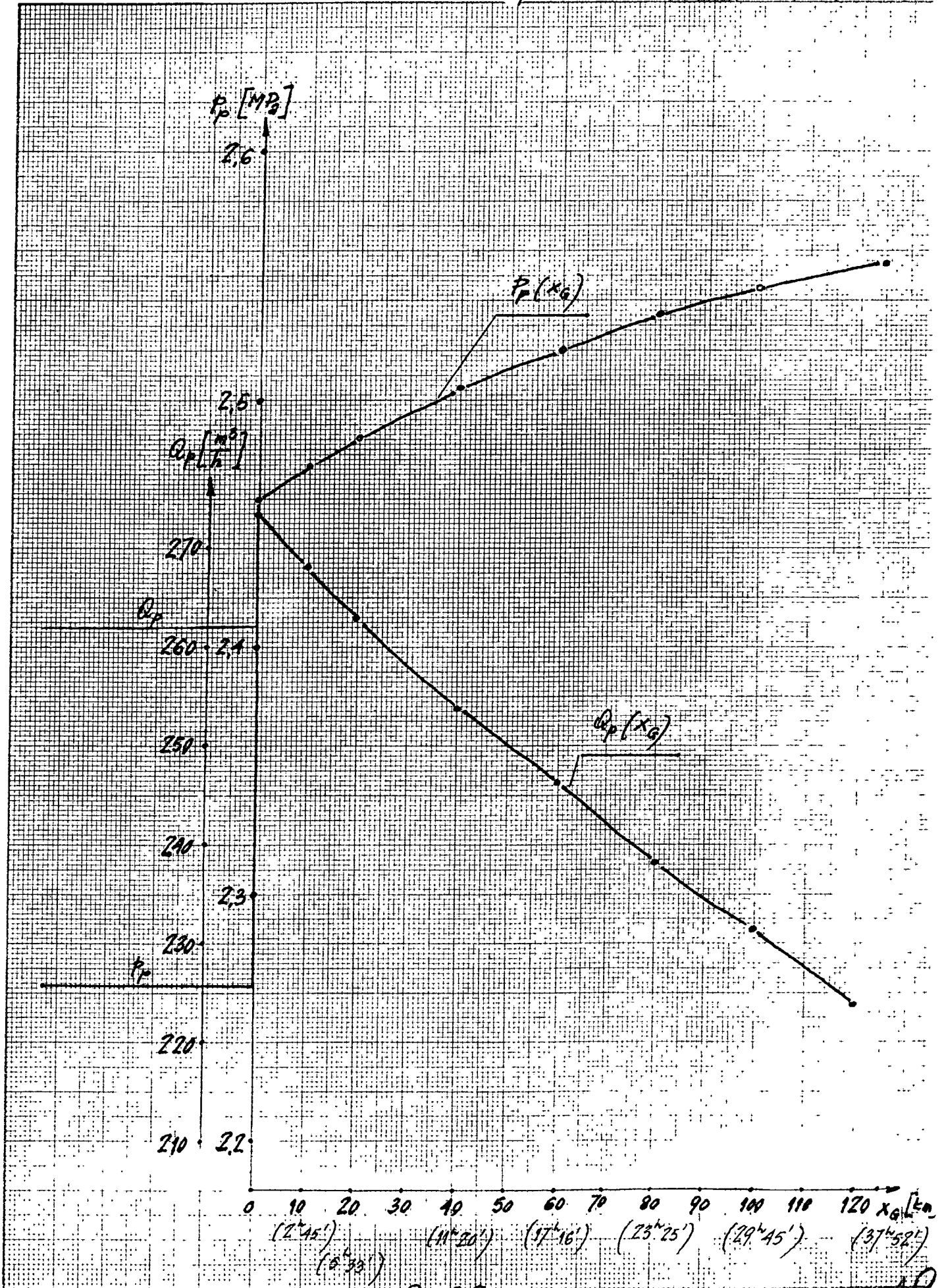
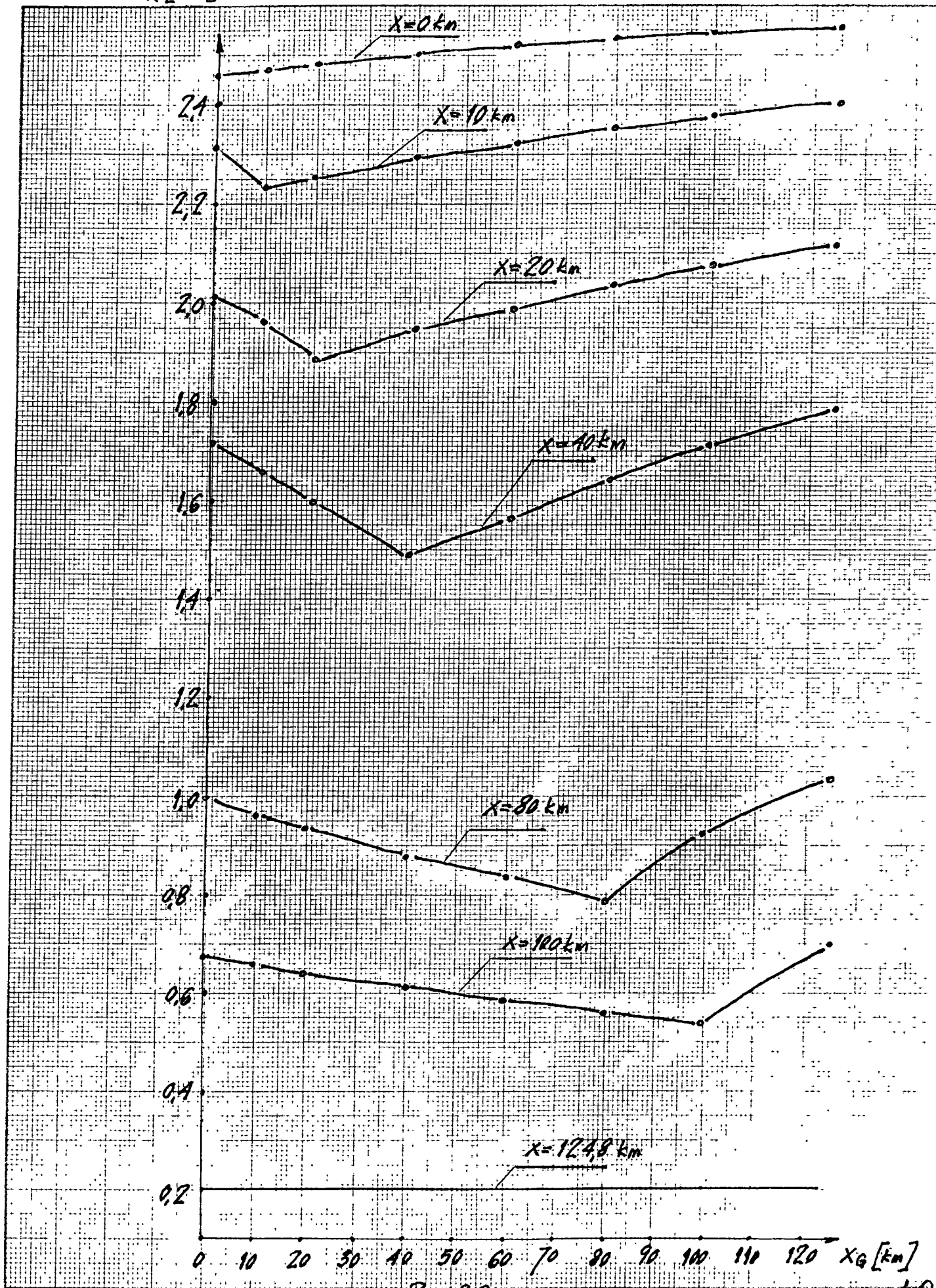


Fig. 3.2

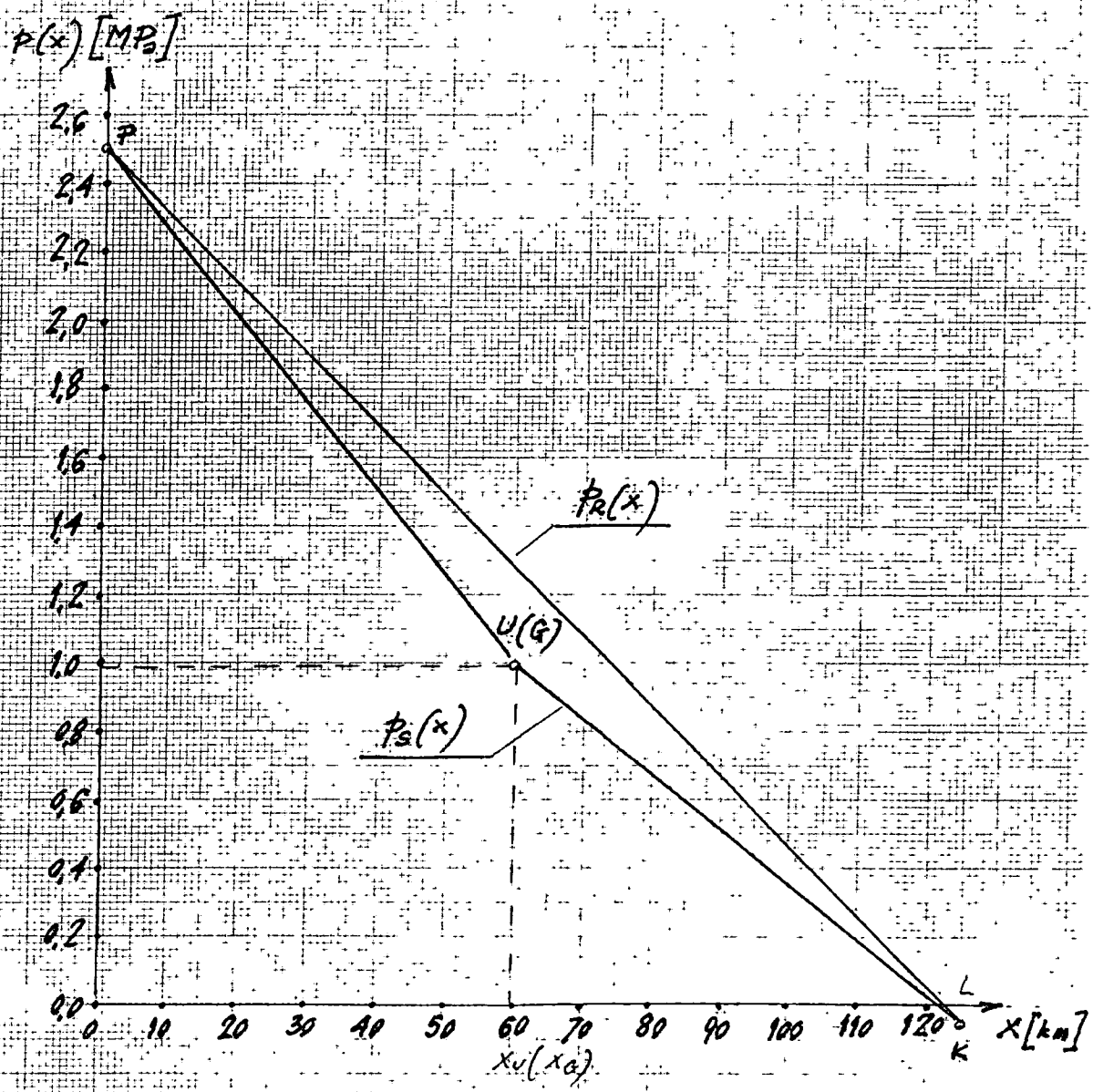
$P_x [MPa]$

- 18 -

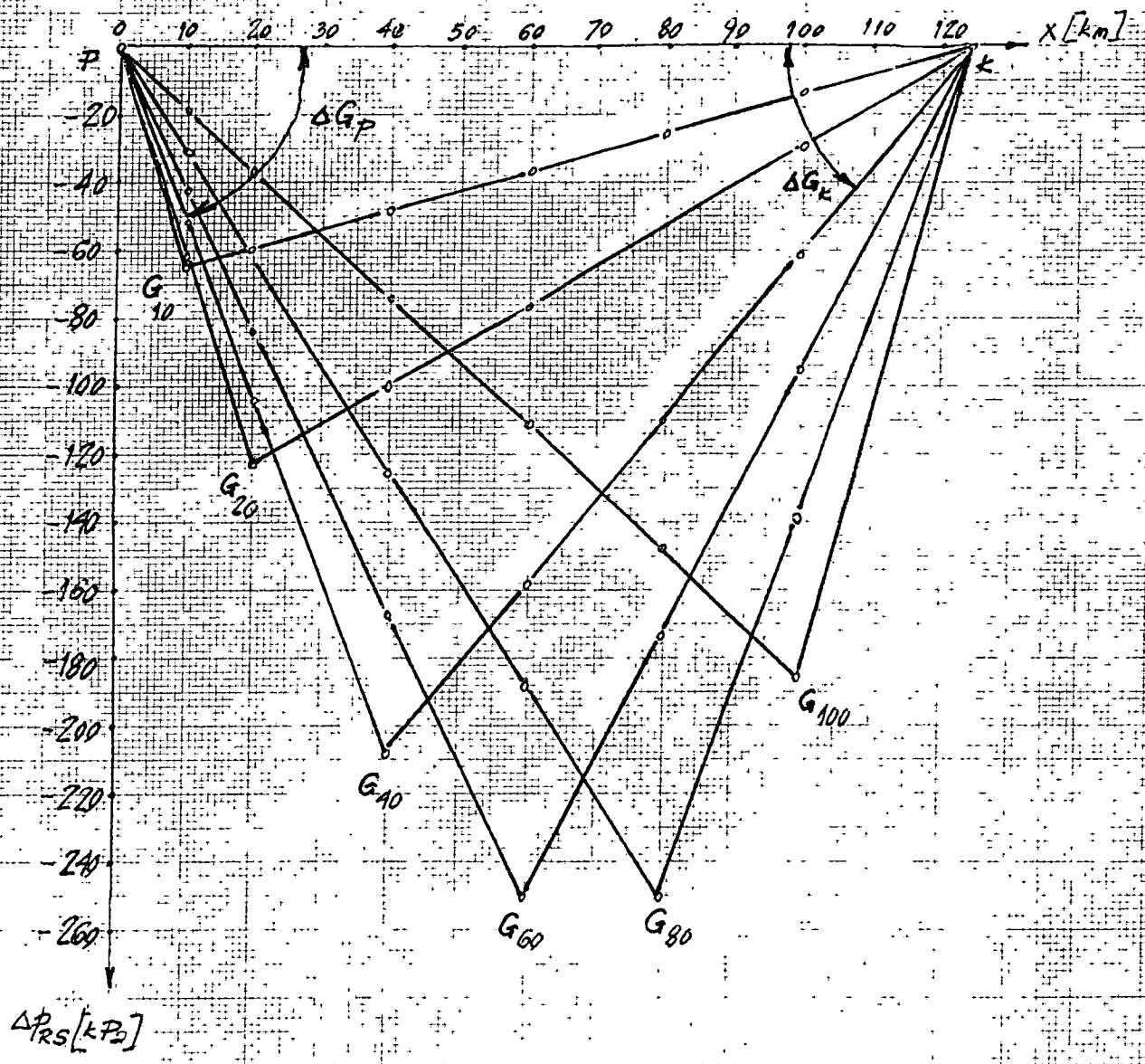


Rys. 3.3

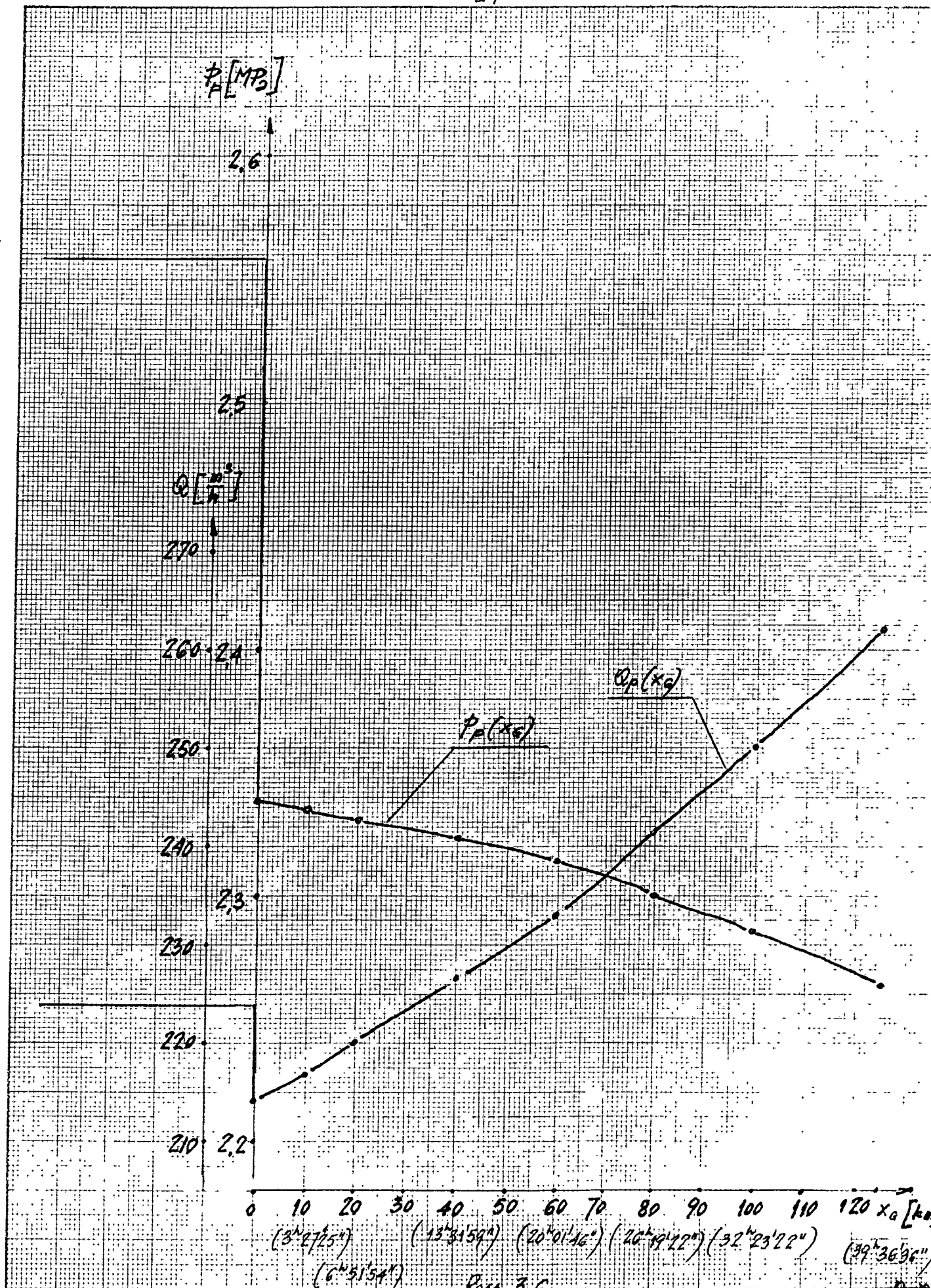
19



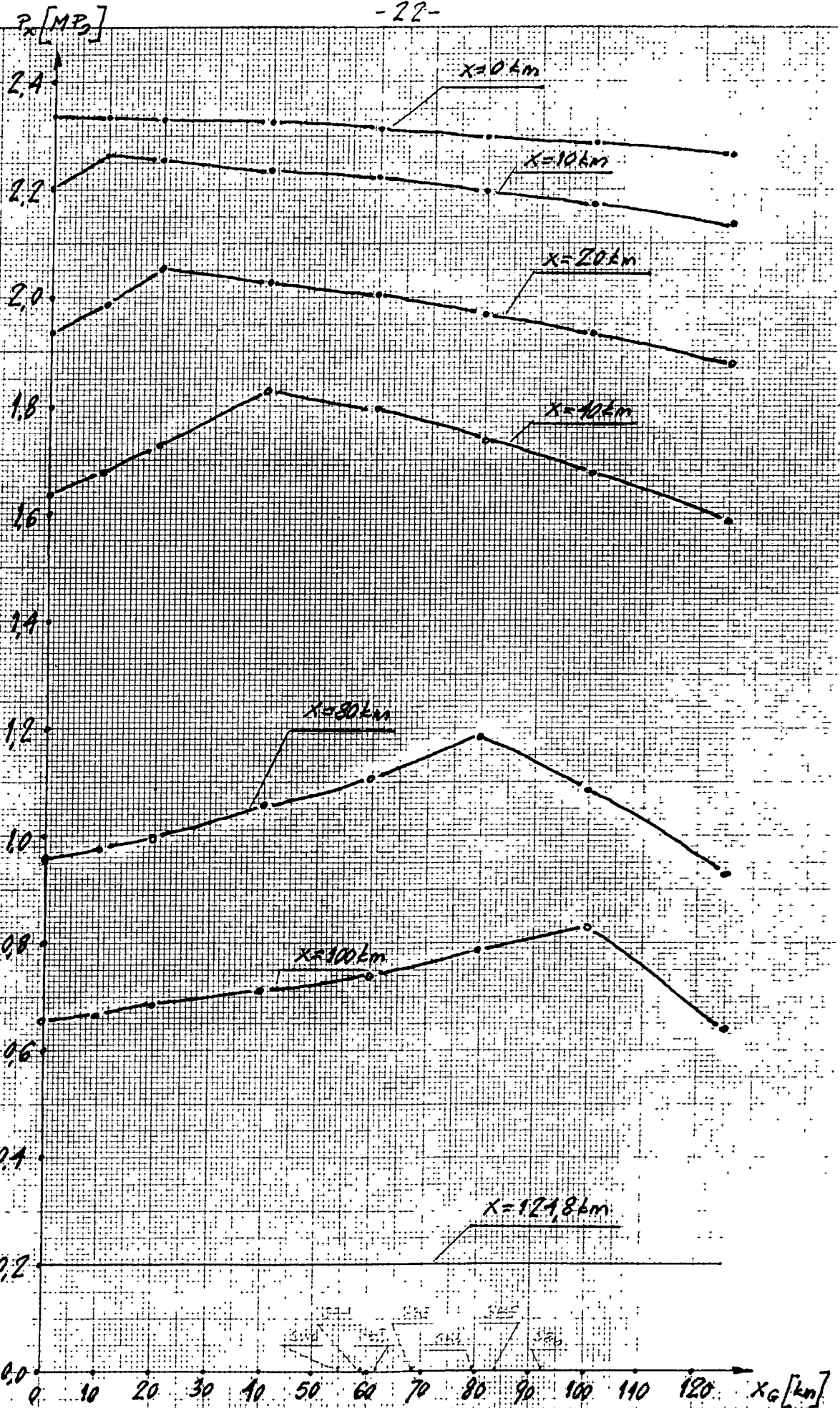
Rys. 3.4

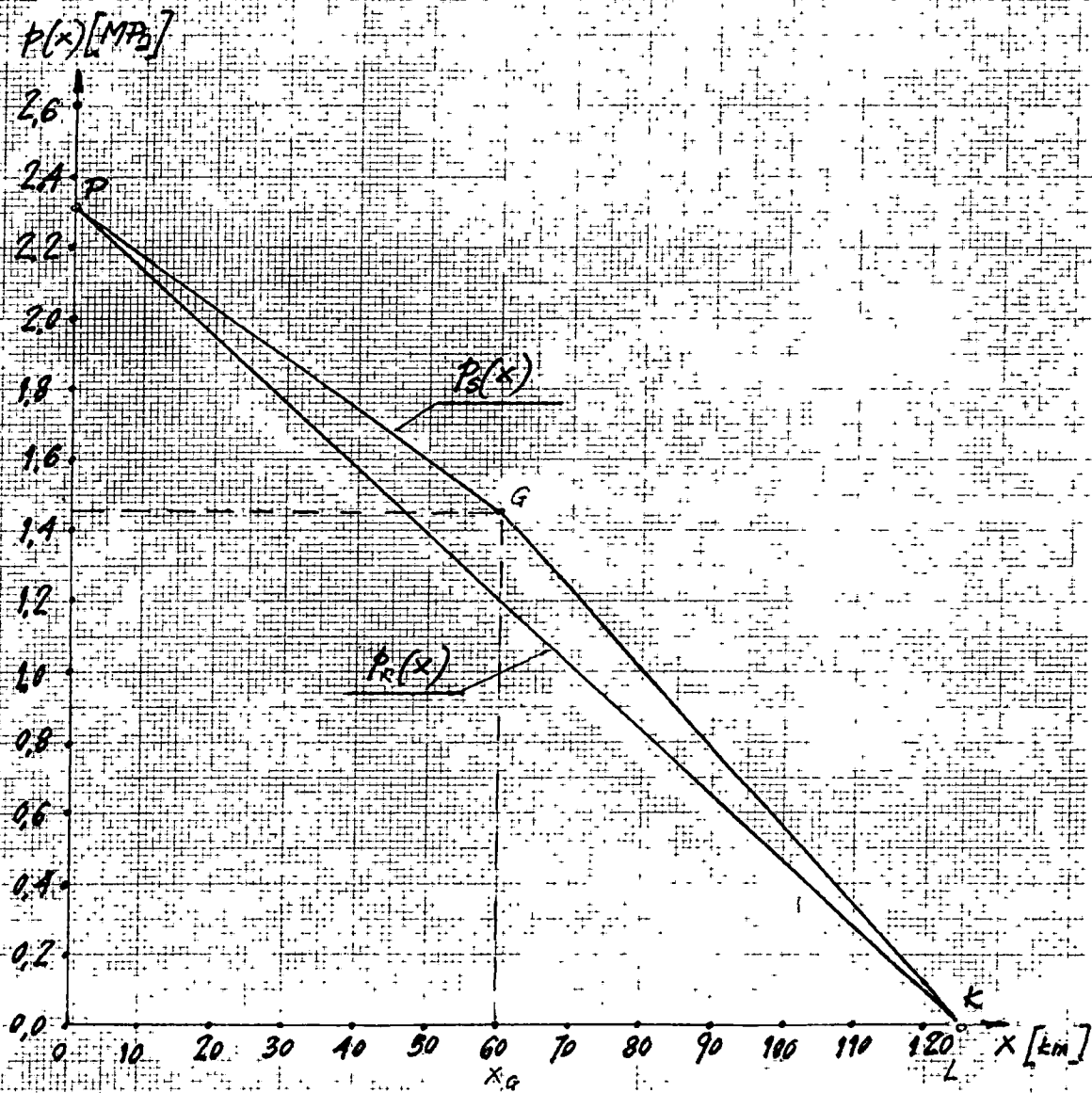


Ry. 3.5



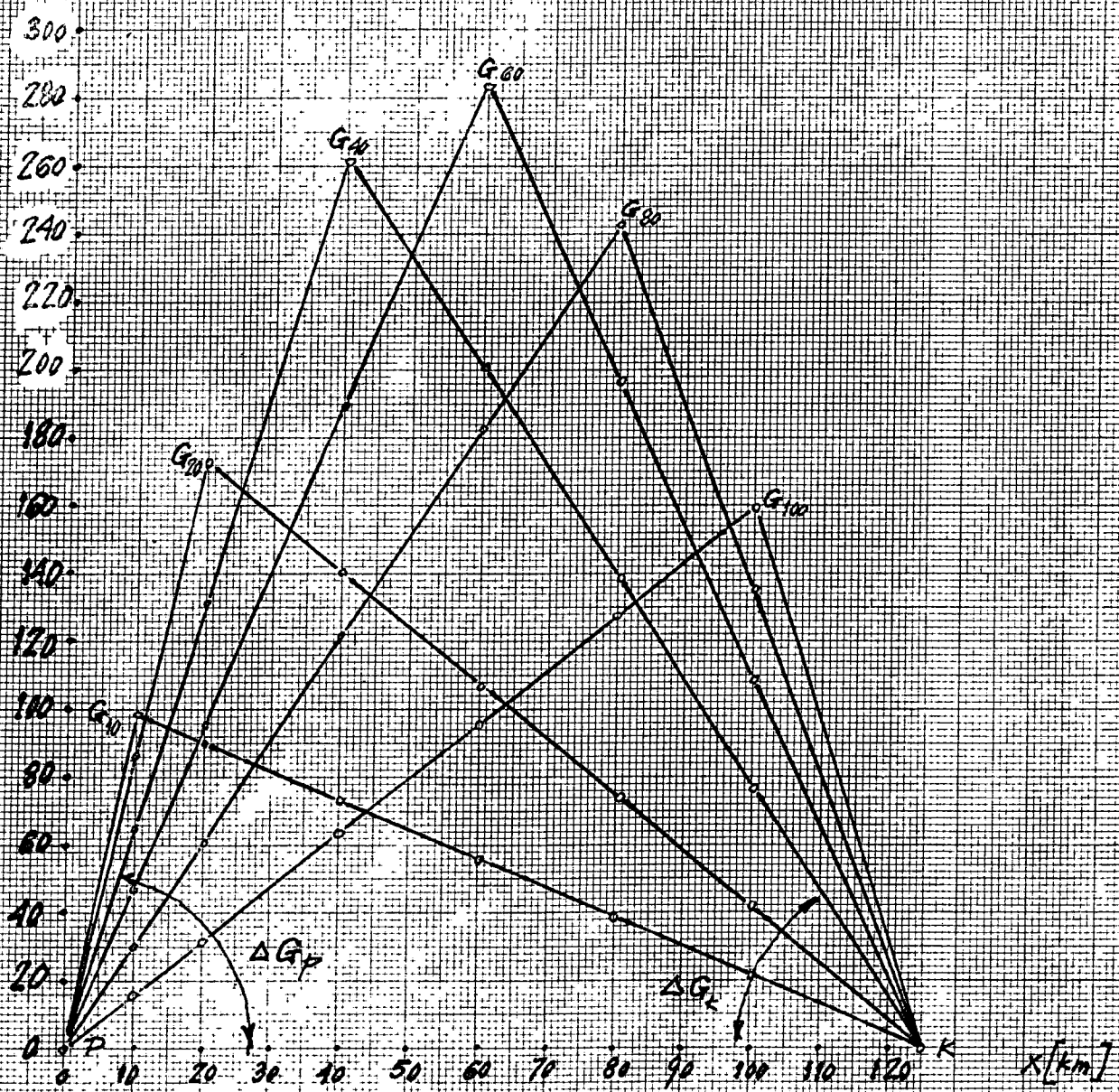
27
261





Rys. 3.8

$\Delta h_{rs} [kPa]$



Rys. 3.9

wartościami \bar{p}_i (ciężar, i odmierzenia).

3.2. Procedura bieżącego śledzenia granicy cordriatu medion.

W systemie informatycznym PERM jest wprowadzana wartość x_G z wartościami:

$$x_G = \int_0^t w(t) dt \quad (3.1)$$

gdzie $w = \frac{1}{3600} \cdot \frac{4}{\pi D_H^2} \cdot Q \left[\frac{m}{s} \right]$ - prędkość przepływu medion w rurce.

Ale wobec stosunkowo dużych błędów pomiaru Q (w granicach kilku procent), można jedynie traktować jako orientacyjną.

Z wyp. 3.5 i 3.9 wynika natomiast, że dla dowolnej wartości x_G :

$$\Delta \bar{p}_{seri} = \Delta \bar{p}_p \cdot x_G = -\Delta \bar{p}_k (L - x_G)$$

a stąd (w przypadku braku przecięcia):

$$x_G = L \left(1 - \frac{\Delta \bar{p}_p}{\Delta \bar{p}_k} \right)^{-1} \quad (3.2)$$

Wartość (3.2) jest identyczna z (3.23) z tym, że inne są przyjęte postawienia przestoi $\Delta \bar{p}_p$ i $\Delta \bar{p}_k$. Powinno one uśrednić bieżące śledzenie x_G poza odciętami skrajnymi (dla wprowadzania G_p i G_k potrzebne są minimum dwa punkty); na odcięciach skrajnych porostaje postępowanie si wartościami (3.1).

3.3. Korzystanie wartości $p_i(t)$ w stosunku do wartości $p_i(t-\tilde{t})$.

Wartości używane są do wyznaczenia wartości przyspieszeń, o jakie nośniki byłyby sterowane $p_i(t)$ lub $p_i(t-\tilde{t})$ dla zrealizowania błędów x_v , używane wadzone na drodze teoretycznej, zamierzone w [3]. Ale nie będą one wykorzystane (przynajmniej teraz) z dwóch powodów:

- dla obliczenia v/v przyspieszeń potrzebna jest wartość współczynnika $n = \frac{g_a}{g_b}$ oraz $m = \frac{g_a \lambda_a}{g_b \lambda_b}$, a współczynniki te nie są znane,
- używane wartości są równe i mocno skomplikowałyby procedurę lokalizacji punktów.

Analizując rysunki 3.5 i 3.9 łatwo jednak zauważyć, że od punktu P_6 i G stałoby się niekiedy sprzeczne promienie wzdłuż punktu mi obrotu P i K oraz „jarmen” przesuwających się po krawędzi stałymi i wyciąg obwiedni punktów G . Prędkość porzucenia (równoległa do osi x) przemieszczania się punktu G jest równa prędkości porzucenia mediów; jest ona stosunkowo mała: przy tłumieniu przez 1/1000 $w_{xz} = 0,8 \pm 1,1 \frac{m}{s}$.

Zauważmy (rys. 2.10), że w czasie $(t-\tilde{t})$ granica sordriah mediów wynosiła x_{G1} (punkt G_1 na obwiedni), a kolejna wartość $\Delta p_{rsi}(t-\tilde{t})$ w kilku stacjach:

- przed granicą sordriah mediów:

* dla $x = x_v$, $\Delta p_{rsi}(t-\tilde{t}) = \Delta p_{rsv}(t-\tilde{t}) = v v_1$,

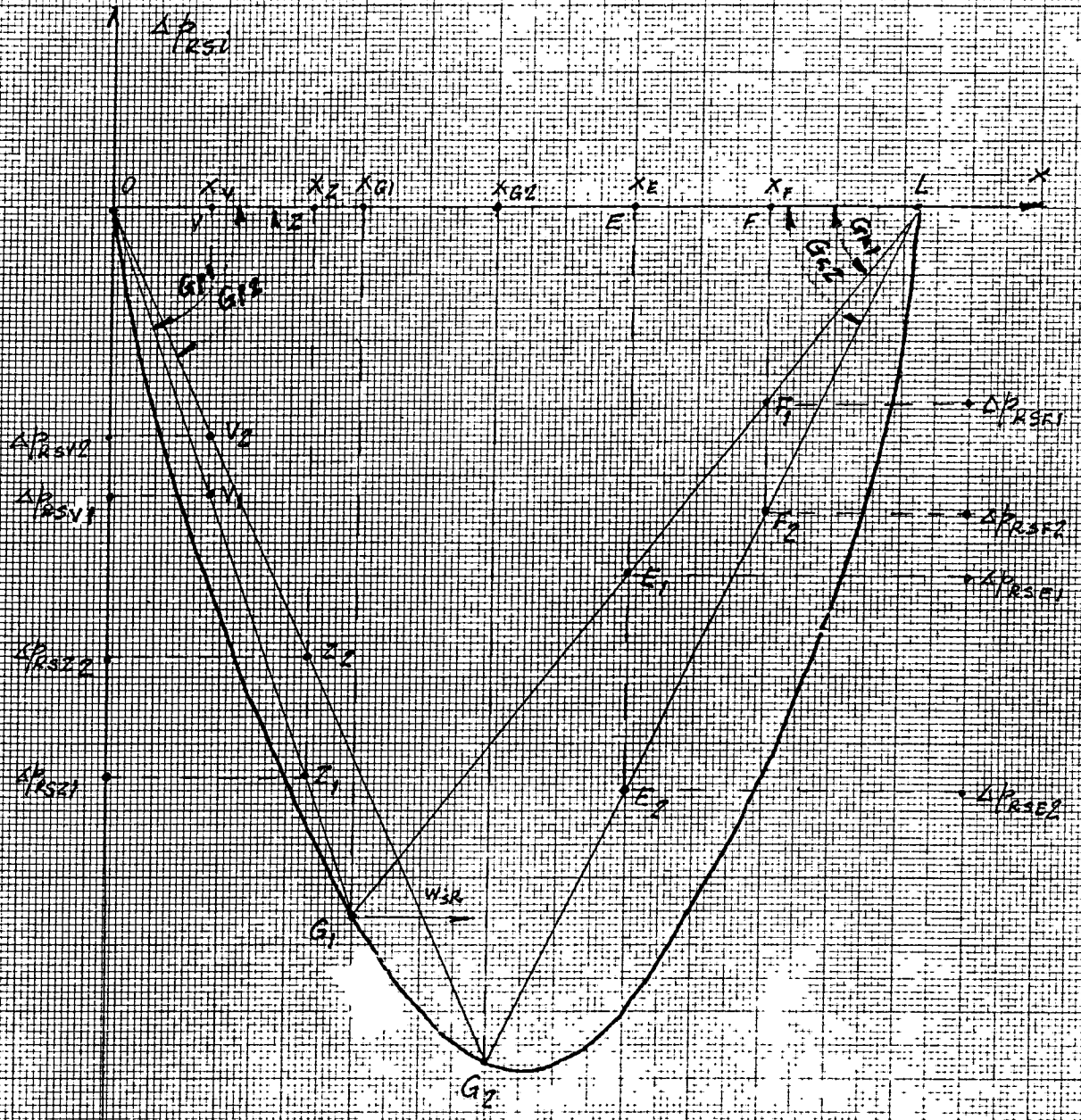
* dla $x = x_z$, $\Delta p_{rsi}(t-\tilde{t}) = \Delta p_{rsz}(t-\tilde{t}) = z z_1$,

- za granicą sordriah mediów:

* dla $x = x_E$, $\Delta p_{rsi}(t-\tilde{t}) = \Delta p_{rse}(t-\tilde{t}) = e e_1$,

* dla $x = x_F$, $\Delta p_{rsi}(t-\tilde{t}) = \Delta p_{rse}(t-\tilde{t}) = f f_1$.

Po czasie $\Delta t = \tilde{t}$ granica sordriah mediów przesunęła się do x_{G2} (punkt G_2 na obwiedni). Wyznaczone w v/v punktach g_1



Rys. 3.10

wartosci $\Delta Pr_{si}(t)$ wyznos - odpowiednio:

$$\Delta Pr_{sv}(t) = v_1 v_2, \Delta Pr_{sz}(t) = z_1 z_2, \Delta Pr_{se}(t) = e_1 e_2, \Delta Pr_{sf}(t) = f_1 f_2,$$

a zatem ich przyrosty po czasie \tilde{t} :

$$\Delta[\Delta Pr_{sv}(\tilde{t})] = \Delta Pr_{sv}(t) - \Delta Pr_{sv}(t - \tilde{t}) = v_2 v_1,$$

$$\Delta[\Delta Pr_{sz}(\tilde{t})] = \Delta Pr_{sz}(t) - \Delta Pr_{sz}(t - \tilde{t}) = z_2 z_1,$$

$$\Delta[\Delta Pr_{se}(\tilde{t})] = \Delta Pr_{se}(t) - \Delta Pr_{se}(t - \tilde{t}) = e_2 e_1,$$

$$\Delta[\Delta Pr_{sf}(\tilde{t})] = \Delta Pr_{sf}(t) - \Delta Pr_{sf}(t - \tilde{t}) = f_2 f_1.$$

Stąd wyliczając, że:

$$v_2 v_1 = x_v \cdot \Delta G_p$$

$$e_2 e_1 = (L - x_E) \cdot \Delta G_k$$

$$z_2 z_1 = x_z \cdot \Delta G_p$$

$$f_2 f_1 = (L - x_F) \cdot \Delta G_k$$

gdzie: $\Delta G_p = G_{p2} - G_{p1}$ - przyrost gradientu dla $x < x_G$

$\Delta G_k = G_{k2} - G_{k1}$ - przyrost gradientu dla $x > x_G$.

Dla niedźwiedzi przedmiotu czasu $\Delta t = \tilde{t}$ można powiedzieć, że przyrost gradientu jest liniową funkcją czasu:

$$\Delta G_p = a_p \cdot \tilde{t}$$

$$\Delta G_k = a_k \cdot \tilde{t}$$

Otrzymujemy zatem:

- dla $x < x_G$:

$$\Delta[\Delta Pr_{si}(\tilde{t})] = x_i \cdot a_p \cdot \tilde{t} \tag{3.3}$$

- dla $x > x_G$:

$$\Delta[\Delta Pr_{si}(\tilde{t})] = (L - x_i) \cdot a_k \cdot \tilde{t} \tag{3.4}$$

W tym przypadku wystarczą na bieżąco identyfikować (np. metodą analizy regresyjnej) dwa współczynniki: a_p i a_k .

Korzystając z (3.3) i (3.4) można by było oczywiście stwierdzić, że x_G nie z x_v ma przykład w sytuacji - jak promień, korekta w/g (3.3) dotyczy stacji na odcinku od $x=0$ do $x=x_G$, a korekta w/g (3.4) - stacji od $x=x_G$ do $x=L$.

Opracowywane dotychczas procedury lokalizacji przecieków oparte były nie na zmianach $\Delta[\Delta p_{rsi}(t)]$, lecz na zmianach $\Delta p_i(t)$. Aby skorzystać z zależności (3.3) i (3.4) należałoby zatem:

- albo zmodyfikować w/w procedury tak, aby barowały one na zmianach $\Delta[\Delta p_{rsi}(t)]$; wydaje się, że jest to godne rozważenia,
- albo zależności (3.3) i (3.4) rozciągnąć również na zmiany $\Delta p_i(t)$.

Ten ostatni wniosek możemy przesadzić następująco:

$$\Delta p_{rsi} = p_{si} - p_{ri} = [p_i - f(\rho, \Delta h)]_t - [p_p - G_s \cdot x_i]$$

$$\text{stad: } \Delta[\Delta p_{rsi}(t)] = [p_i(t) - f(\rho, \Delta h)_t - p_p(t) + G_s(t) \cdot x_i] - [p_i(t-\tau) - f(\rho, \Delta h)_{t-\tau} - p_p(t-\tau) + G_s(t-\tau) \cdot x_i] \quad (3.5)$$

Dla niezbyt dużego przedziału czasu τ możemy przyjąć:

- (a) $p_p(t) \approx p_p(t-\tau)$; jak już wspomnieliśmy, w czasie około 400 s $p_p(t)$ zmienia się o około 4%, t.j. (przy ciśnieniu medium przez 1 pompę) o około 2,5 kPa;
- (b) $p_r(t) \approx p_r(t-\tau)$; ciśnienie $p_r(t)$ zależy bowiem od ciśnienia w zbiorniku dociągającym;
- (c) wobec (a) i (b): $G_s(t) \approx G_s(t-\tau)$.

Pomada zakładamy (z kilku powodów), że lokalizacja przecieków nie obejmuje odcinka swobodnego, odległego od x_0 o $\pm \Delta x_m$; odcinek Δx_m powinien wynosić 1,5 ÷ 2,0 km.

W tym zakresie:

$$(a) f(\rho, \Delta h)_t = f(\rho, \Delta h)_{t-\tau}$$

Uzależniając $(a) \div (d)$ u (3.5), otrzymujemy:

$$\Delta[\Delta p_{rsi}(\bar{t})] = \Delta p_i(\bar{t}) \quad (3.6)$$

W świetle powyższych warunków proponuje się następującą procedurę wyznaczania zmianowych Δp_{rsi} (lub Δp_i):

- Wyznaczamy wartość x_G .
- Wyznaczamy na bieżąco (np. metodą analizy regresyjnej) zmienne:

* dla $x_i < x_G$: a_p , będąca współczynnikiem równania:

$$\frac{\Delta[\Delta p_{rsi}(\Delta t)]}{x_i} = a_p \cdot \Delta t$$

* dla $x_i > x_G$: a_k , będąca współczynnikiem równania:

$$\frac{\Delta[\Delta p_{rsi}(\Delta t)]}{L - x_i} = a_k \cdot \Delta t$$

- Znając wartość orientacyjną \bar{t} , wyznaczamy wartości powyższych:

* dla $x_i < x_G$: $\Delta[\Delta p_{rsi}(\bar{t})] = x_i \cdot a_p \cdot \bar{t} \quad (3.7)$

* dla $x_i > x_G$: $\Delta[\Delta p_{rsi}(\bar{t})] = (L - x_i) \cdot a_k \cdot \bar{t}$

4. JEDNOCZESNE WYSTĄPIENIE PRZECIEKU I SKOKOWEJ ZMIANY CIŚNIENIA NA KOŃCU LUB NA POČIĄTKU RUROCIĄGU.

Próbowano znaleźć procedurę, która umożliwiłaby wykrywanie i lokalizację przecieków po skokowej zmianie ciśnienia na końcu lub na początku swojego jeźdźce w czasie trwania stanu niestabilnego. Stwierdzono, że stworzenie takiej procedury jest możliwe, jednakże jej skuteczność byłaby bardzo niska, a stopień skomplikowania - wysoki. Dlatego tej zdecydowano się, aby w tego typu sytuacjach wyłbonyo dłałomne procedurę wykrywania i lokalizacji przecieków.

Jak wynika z poprzednich badań [4], czas ustabilizowania się ciśnienia w rurce po wystąpieniu w/v różnicy wynosi 15÷25 min (podobnie, jak w przypadku uszczelnienia i tworzenia po przednim postoju instalacji).

Uwzględniając powyższe, proponuje się następujące postępowanie:

- Sprawdzamy, czy różnica jest wynikiem awarii przewodu ciśnienia, czy też skokowej zmiany ciśnienia.

Jeżeli jest to skokowa zmiana ciśnienia (nierównomiernie jej przerywanie), wówczas:

- * sygnał zmiany ciśnienia sp: wystąpi najpierw na ostatniej (P_{17}) lub na pierwszej (P_1) stacji pomiarowej,
- * sygnał ten później pojawia się na następnych stacjach pomiarowych po upływie kilku cykli pomiarowych:
- ** jeżeli różnica wystąpiła na końcu swojego:

$$\Delta k_i = \frac{L - x_i}{T_0 \cdot a} \pm L$$

(4.1)

** jeżeli wykłonicie wystąpiło na przekroju suszyciwa:

$$\Delta t_i = \frac{x_i}{T_0 \cdot a} \pm \xi \quad (4.2)$$

gdzie: $a = 1170 \frac{m}{s}$ - prędkość dźwięku w suszyciwie
Mamy się, że jest to skokowa zmiana ciśnienia, jeżeli
w/w sekcji nastąpi spełnienie dla co najmniej 3 kolejnych
stacji pomiarowych.

- jeżeli stwierdzimy, że nastąpiła skokowa zmiana ciśnienia,
wówczas:

* zatrzymujemy wszystkie procedury (wykrywania i lokalizacja
przebiegu, śledzenia granicy serduszkowej) i kasujemy
wszystkie zmienne z wyjątkiem: x_0, \dots

* uruchamiamy procedurę kontroli nastabilizowania się
parametrów w suszyciwie - analogiczna, jak w p. 1; być może
procedura ta może być niepełna w skutku, że jeżeli
kryteria (1.1) i (1.2) nie będą spełnione po czasie T_x (np. $T_x = 25 \text{ min}$),
wówczas postępujemy dalej tak, jak po ich spełnieniu.

* po spełnieniu kryteriów stabilności parametrów ponownie
uruchamiamy wszystkie parametry.

5. UWAGI KOŃCOWE.

- (1) Jak dotąd, najbardziej skuteczną procedurą wykrywanie precyzyjną starają się procedury mxdp. Procedura ta powinna działać przez cały czas, z wyjątkiem:
- okresów niestabilności parametrów spowodowanych nieliniowymi zakłóceniami takimi, jak: włączenie lub wyłączenie tłumienia, skokowa zmiana ciśnienia na poszczególnych / i na torach susociąg,;
 - awarii przetwornica ciśnienia; w tym przypadku należy wyłączyć z procedury daną stację,
 - przechodzenia przez stację granicy rozdzielni mediów; również w tym przypadku należy wyłączyć z procedury daną stację.

Ale powstają problemy w / w okresach, procedura mxdp „zgaubi”. Z tego (misdry i innymi) względu również z procedurą mxdp należy wprowadzić procedurę wykrywania precyzyjną w / g p. 2.1 niniejszego opracowania. Prawdopodobnie będzie ona mniej wrażliwa na precyzyjność niż procedura mxdp, ale wyłączenie jej na czas niestabilności parametrów nie spowoduje utraty możliwości ^{wyłączenia} precyzyjnej, której w misdrysach wystąpił.

- (2) W trakcie badania zakłóceń, wyst. przyjęte w procesie tłumienia [4], stwierdzono kilka przypadków kolejno następujących pp. sobie (w odstępach kilkanaście do kilku kilkadziesiąt min) skokowych zmian ciśnienia, co mogło wytknąć występowania stanu niestabilnego w susociąg. W takich przypadkach również dotychczas

čas opracovane procedury lokalizaci: precetov bude niespravne
b. vzhľadom na to, že po dlhších prerušeniach v dialkovej sieti -
mu (a mierne viac od toho okruhu, nap. o 10 ÷ 15 min) mal by
byť menej presná procedura v p. 2.2 a 2.3. Tak ju v spomínanom
bude oveľa presnejšie, ale na to nie je potrebné in-
tým typom prerušenia.

- (3) Należy przeanalizować, czy nie warto we wszystkich procedurach
opracować się na zmiennych Δp i Δp_{si} .

BIBLIOGRAFIA.

1. R. Sobczak, A. Bratek: „Opracowanie i określenie właściwości systemu do wykrywania i lokalizacji przecieków (SKLP) w sieciach przy określonym opomiarowaniu”.
Etap 1. „Opracowanie i badania komputerowe modelu matematycznego sieci”. 09. 1994
Etap 2. „Opracowanie SKLP w sieciach war przy pomocy komputerowej właściwości tego systemu na przecieki przy istniejącym opomiarowaniu, w oparciu o model matematyczny sieci”. 04. 1995
2. R. Sobczak: „Prace przygotowawcze, związane z kontynuacją badań i udoskonaleniem SKLP w sieciach”.
Etap 2. „Przygotowanie ról i dla oprogramowania użytkowego”. 08. 1996
3. R. Sobczak: „Udoskonalenie ról do oprogramowania systemowego i użytkowego SKLP.” 05. 1996
4. R. Sobczak, A. Bratek: „Analiza ról, występujących na sieciach SF1-NWW i wpływ tych ról na procedury:
 - wykrywania i lokalizacji przecieków,
 - śledzenia granicy sardriah mediów.” 04. 1997